



## TEORIA DO CONTROLE DISCRETO

2022.1

## MODELO DE TANQUES ACOPLADOS

**Aluno:** Douglas Lima Militão Pinheiro

**Matrícula:** 476854

**Professor:** Fabrício Nogueira



## TRABALHO –MODELO DE TANQUES ACOPLADOS

### 1. OBJETIVOS

- Identificar o modelo ARX de tanques acoplados com controle de vazão por uma válvula;
- Projetar um controlador para o sistema;
- Verificar via MATLAB e SIMULINK os resultados do controlador.

### 2. INTRODUÇÃO

Uma planta de controle de nível é muito utilizada em sistemas industriais, possuindo diversas aplicações práticas. A não linearidade de um tanque é devido a sua vazão de saída, que pela equação de Bernoulli, varia de acordo com a raiz quadrada da altura e, portanto, apesar de ser estável, não é um sistema linear e não é possível aplicar a transformada de Laplace.

Para a solução deste problema é possível duas abordagens, linearizar em torno de um ponto de operação para realizar a identificação do modelo e projetar um controlador linear ou projetar um controlador adaptativo capaz de operar em todos os pontos de operação do modelo, sendo este segundo método o adotado para este projeto.

#### 2.1 MODELAGEM FENOMENOLÓGICA DE UM TANQUE

A equação que rege os fenômenos físicos envolvendo o problema de um tanque é dada por:

$$A \frac{dh}{dt} = Q_e - Q_s$$

- $A$  é a área da base do tanque em  $m^2$ ;
- $h$  é o nível do tanque  $m$ ;
- $Q_e$  é a vazão de entrada em  $m^3/s$ ;
- $Q_s$  é a vazão de saída do tanque em  $m^3/s$

A vazão de saída  $Q_s$  pode ser modelada pela equação de Bernoulli, sendo definida por:

$$Q_s = a_s \sqrt{2gh}$$

- $a_s$  é a seção de saída em  $m^2$ ;
- $h$  é o nível do tanque em  $m$ ;
- $Q_s$  é a vazão de saída do tanque em  $m^3/s$ .

Portanto a relação de entrada  $Q_e$  e nível  $h$  é não linear.



$$A \frac{dh}{dt} + a_s \sqrt{2gh} = Q_e$$

O sistema proposto consiste de dois tanques acoplados, o que o torna consequentemente não linear também, não podendo ser aplicada, portanto, a transformada de Laplace.

### 3. DESENVOLVIMENTO

#### 3.1 MODELAGEM FENOMENOLÓGICA DE UM TANQUE

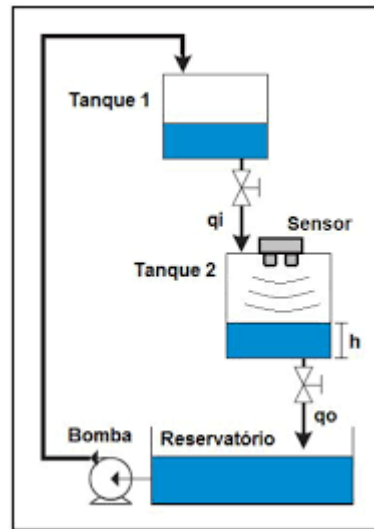


Figura 1. Modelo dos tanques a serem controlados. Fonte: ALPI, Lucas B (UFRS).

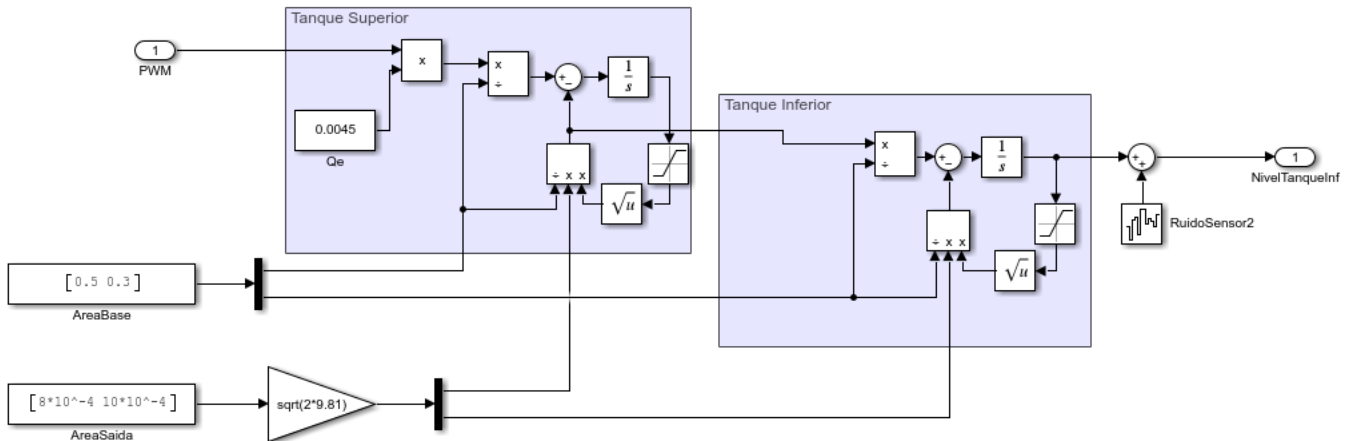


Figura 2. Modelo dos tanques no SIMULINK. Fonte: Autor.

Para o modelo montado no SIMULINK (Figura 2) serão feitas algumas considerações para o sistema, que serão utilizados tanto para facilitar a simulação, como o método de controle, sendo elas:

- As válvulas  $q_i$  e  $q_o$  serão mantidas em aberto, com vazão máxima, e o controle será feito apenas pela vazão de entrada a partir da bomba.
- A relação Vazão/ $DC_{PWM}$  será linear, com  $DC_{PWM}$  variando de 0 a 1.

$$Q_e = Q_{enom} \cdot DC_{PWM}$$



- Serão desconsiderados atrasos de transporte tanto da bomba como do tanque 1.

### 3.2 RESPOSTA AO DEGRAU

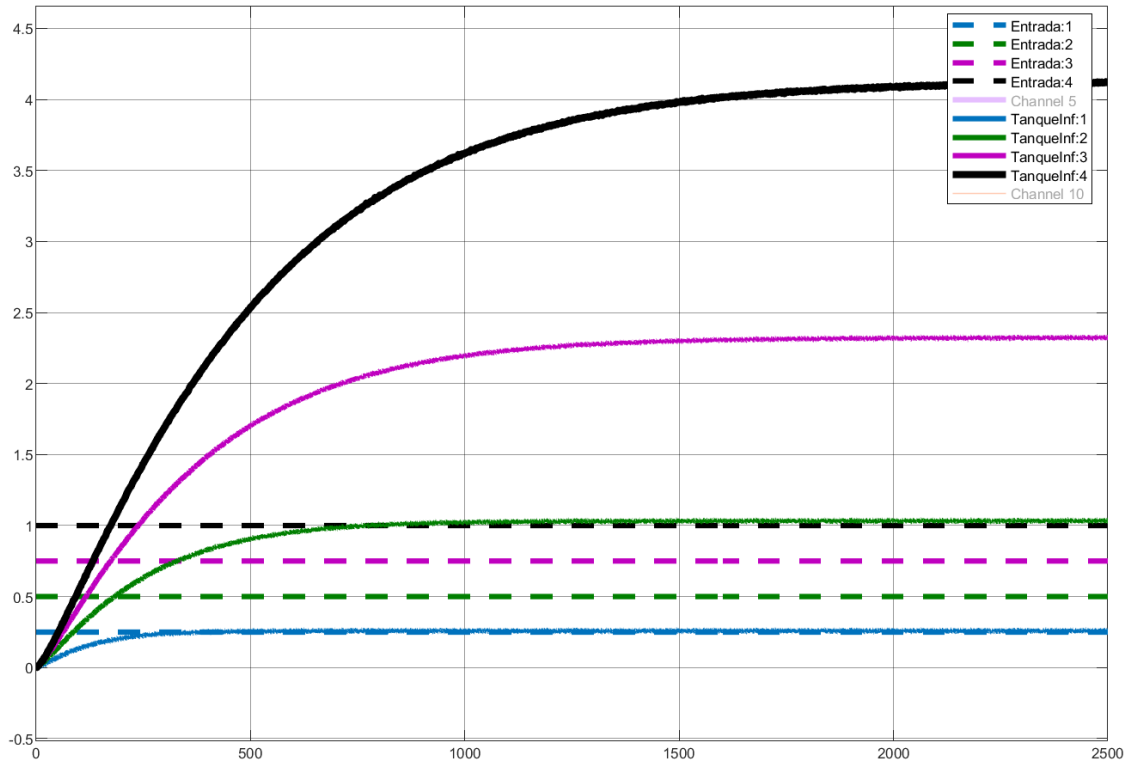


Figura 3. Resposta ao degrau para diferentes valores de PWM. Fonte: Autor.

As curvas da *Figura 3* demonstram a não linearidade do sistema através da resposta ao degrau. As curvas em azul correspondem a um degrau de entrada de 0,25, as curvas em verde a um degrau de entrada de 0,5, enquanto as curvas em violeta e preto, correspondem a um degrau de entrada de 0,75 e 1, respectivamente. Observando apenas as curvas para o degrau de 0,5 e 1, já torna possível perceber que a relação de ganho estático não é correspondente, pois um aumento de 2 vezes no sinal de entrada, resultou em um aumento de cerca de 4 vezes no sinal de saída.

## 4. IDENTIFICAÇÃO DO MODELO ARX

### 4.1 MODO DOMINANTE DO SISTEMA

O sistema apresenta características de dois modelos diferentes, podendo ser aproximado como:

- Modelo de primeira ordem;
- Modelo de segunda ordem com polos reais idênticos;

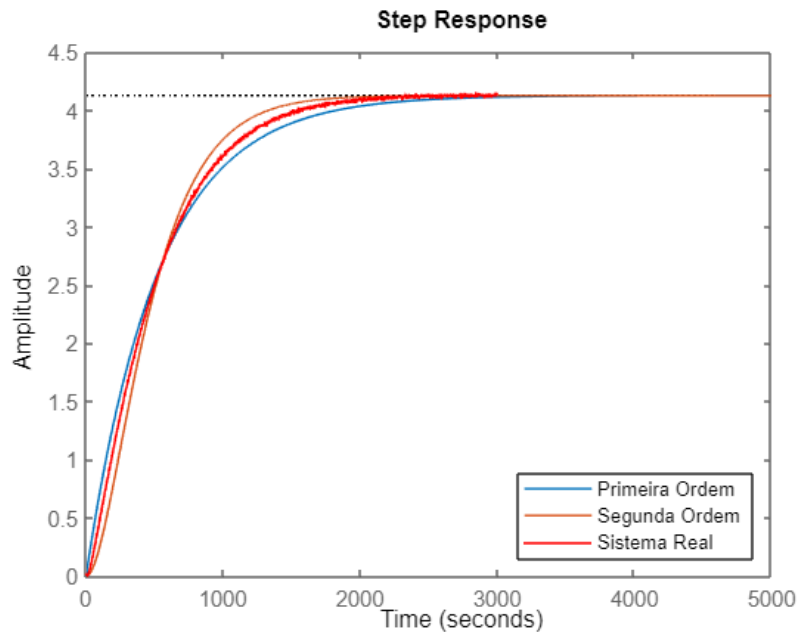


Figura 4. Resposta ao degrau dos modelos e do sistema real. Fonte: Autor

Como um modelo de primeira ordem, possui a seguinte equação aproximada:

$$G_1 = \frac{4,125}{525,4s + 1}$$

Como modelo de segunda ordem, possui o seguinte modelo:

$$G_2 = \frac{6,6 \cdot 10^{-5}}{s^2 + 0,008s + 1,6 \cdot 10^{-5}}$$

A frequência dominante para o modelo de primeira ordem é dada por:

$$f_{dom1} = \frac{1}{525,4} = 1,9 \cdot 10^{-3} Hz$$

Para o modelo de segunda ordem é dado por:

$$f_{dom2} = \frac{\omega_n}{2\pi} = \frac{\sqrt{1,6 \cdot 10^{-5}}}{2\pi} = 6,37 \cdot 10^{-4} Hz$$

A resposta em malha fechada do sistema desejada é de segunda ordem, no formato:

$$H_{mf}(s) = \frac{\omega_n^2}{s^2 + 2\xi\omega_n s + \omega_n^2}$$



É desejado que a resposta em malha fechada seja, pelo menos 5 vezes mais rápida que a resposta em malha aberta. O valor escolhido para assentamento foi de 400 s, com amortecimento igual a 1.

$$T_{ass} = 400s = \frac{4}{\xi \omega_n} \rightarrow \omega_n = 0,01$$

A taxa de amostragem para sistemas de segunda ordem é definida por:

$$0,25 \leq \omega_n t_s \leq 1,75$$

$$25 \leq t_s \leq 175$$

Portanto a taxa de amostragem será de 40 segundos, que satisfaz as condições.

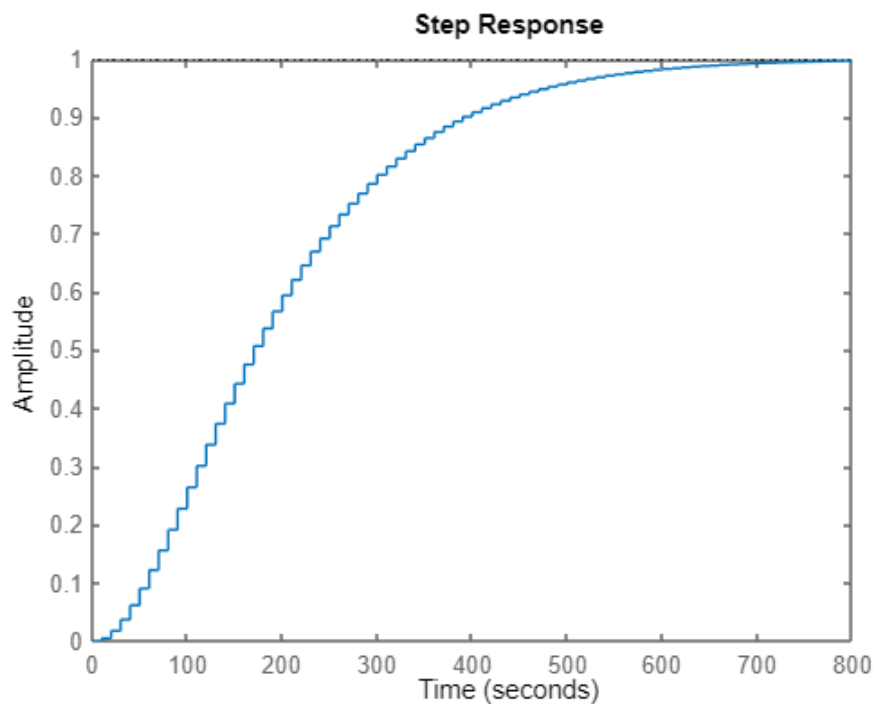


Figura 5. Resposta desejada em malha fechada para o sistema. Fonte: Autor.

## 5. SINAL PRBS

Como se trata de um modelo não-linear que pode ser aproximado por dois modelos diferentes, de primeira ou de segunda ordem, o sinal PRBS a ser criado englobará os dois possíveis, portanto a região plana de frequência do PRBS terá frequência mínima menor que  $6,33 \cdot 10^{-4} \text{ Hz}$  e frequência máxima maior que  $1,9 \cdot 10^{-3} \text{ Hz}$ .



Para dimensionar o sinal PRBS foram utilizadas 5 células e  $T_b$  igual a 200s e concatenados dois ciclos do sinal. As frequências mínimas e máximas, de acordo com o equacionamento de um PRBS, são iguais a:

$$\frac{1}{T_b(2^N - 1)} \leq f_{prbs} \leq \frac{0,44}{T_b}$$
$$3,94 \cdot 10^{-4} \text{Hz} \leq f_{prbs} \leq 2,2 \cdot 10^{-2} \text{Hz}$$

Como engloba as duas frequências dispostas anteriormente, podemos utilizar essa configuração. Com isso foram obtidos os seguintes sinais:

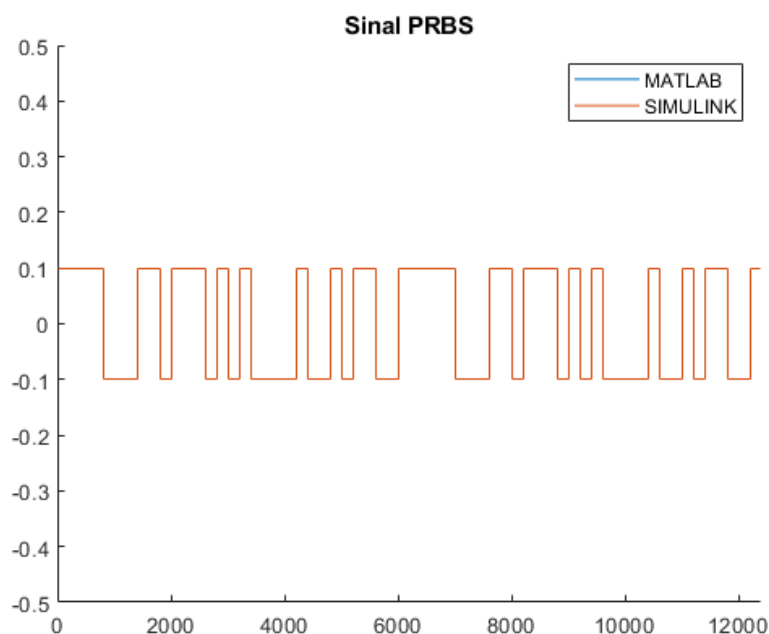


Figura 6. Sinal PRBS no domínio do tempo. Fonte: Autor

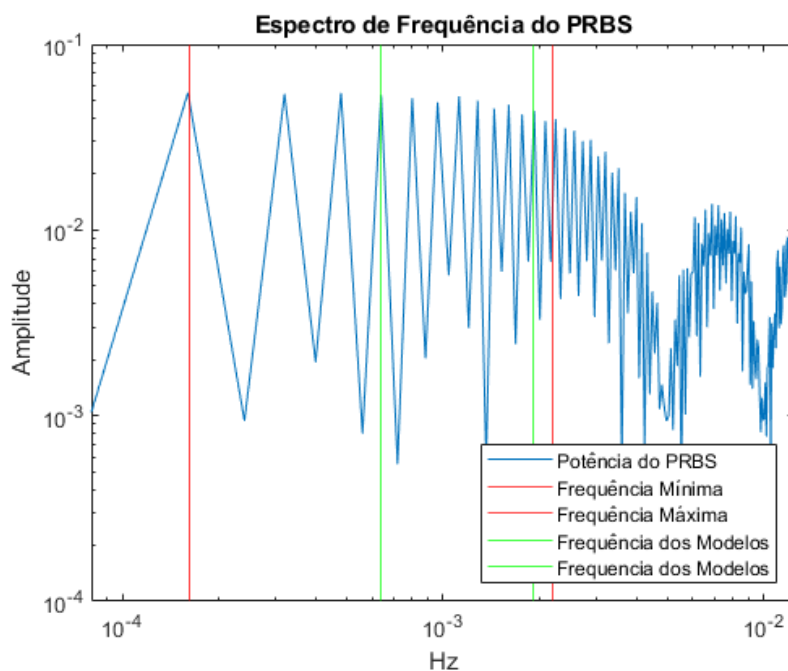


Figura 7. Sinal PRBS no domínio da frequência. Fonte: Autor

O *PRBS* foi aplicado na entrada quando o sistema estava em regime permanente com um degrau de amplitude 0,7 aplicado na entrada anteriormente, e a partir da resposta de saída, os sinais foram filtrados e retirados os *offsets* para a utilização correta do algoritmo dos mínimos quadrados.

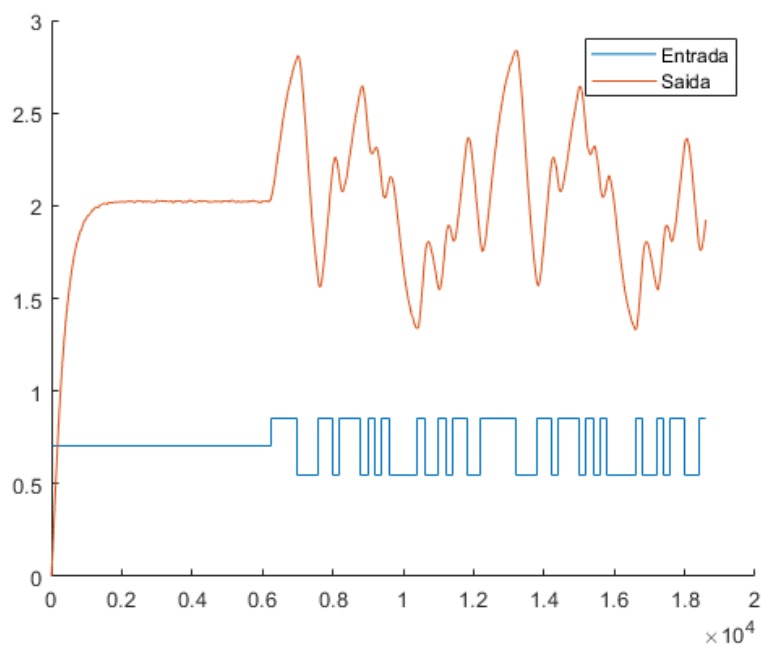


Figura 8. Curvas do sistema. Fonte: Autor



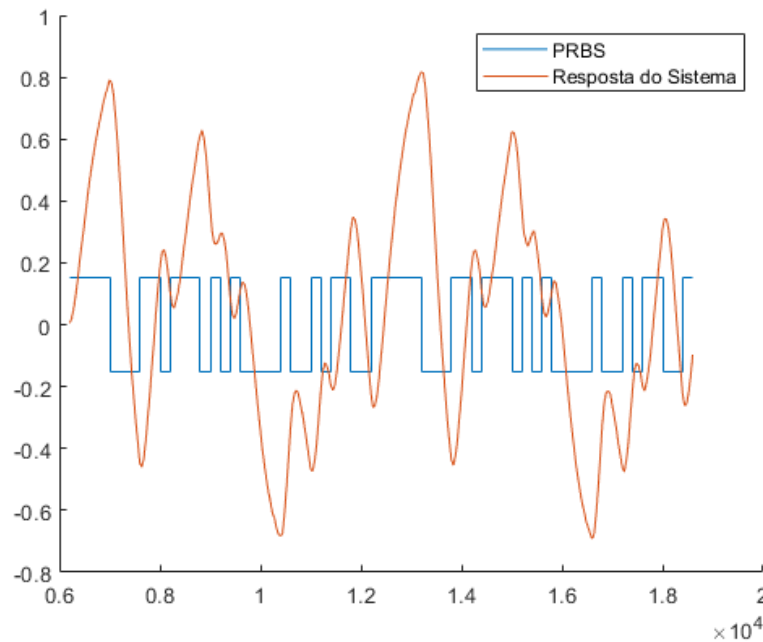


Figura 9. Sinal PRBS e resposta do sistema. Fonte: Autor

Os sinais da Figura 7 foram utilizados para realizar a identificação do sistema utilizando o método dos mínimos quadrados, sendo 75% dos dados para identificação e 25% para validação.

## 6. MÍNIMOS QUADRADOS

Foram considerados polinômios de quarta ordem para A e B sem atraso, sendo obtidos os seguintes resultados:

Função de Transferência:

$$G_{ma}(z) = \frac{0,08806z^{-1} + 0,1278z^{-2} + 0,064z^{-3} + 0,01584z^{-4}}{1 - 0,9822z^{-1} - 0,2845z^{-2} + 0,2047z^{-3} + 0,1114z^{-4}}$$

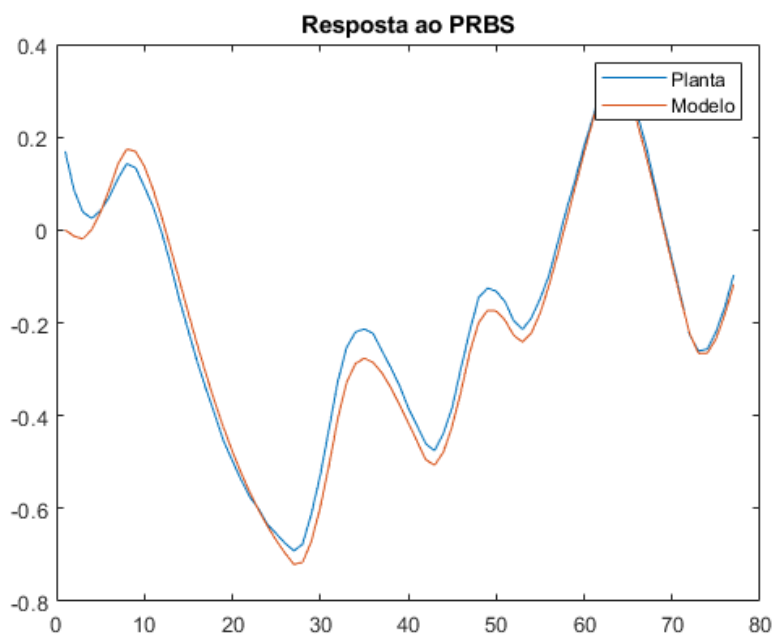


Figura 10. Resposta do Modelo e da Planta real para validação. Fonte: Autor

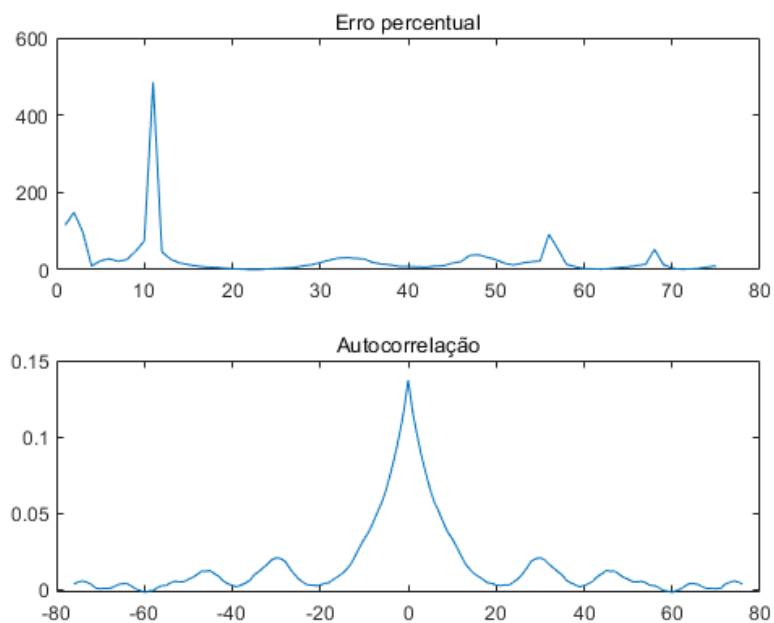


Figura 11. Erro percentual e autocorrelação do erro. Fonte: Autor

Com esses resultados, é possível perceber que os resultados da identificação foram satisfatórios, visto que a autocorrelação do erro se aproxima com a autocorrelação de um ruído branco, ou seja, há pouca informação relevante perdida na identificação.

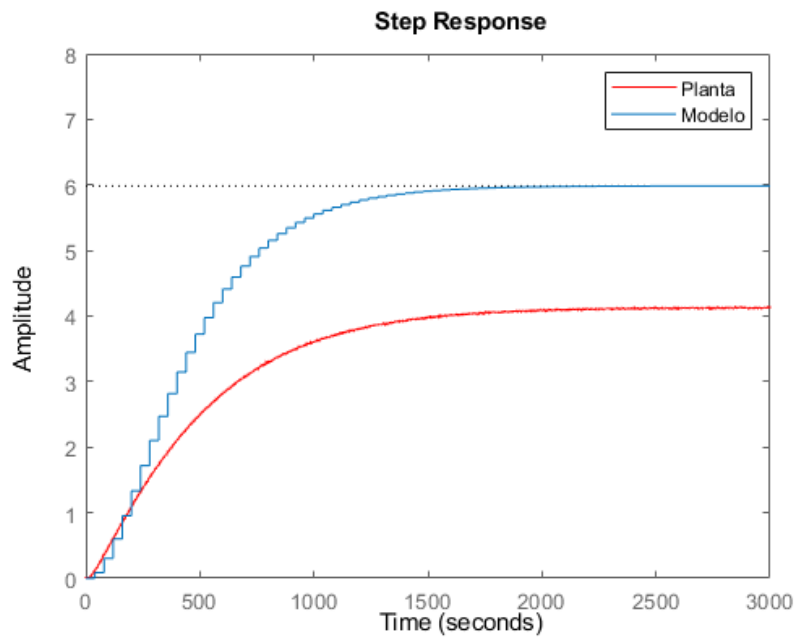


Figura 12. Resposta ao degrau da planta e do modelo. Fonte: Autor

Por se tratar de um sistema não linear, é natural que a resposta ao degrau do modelo e da planta não sejam condizentes, visto que o modelo mapeia apenas uma região de operação da planta.

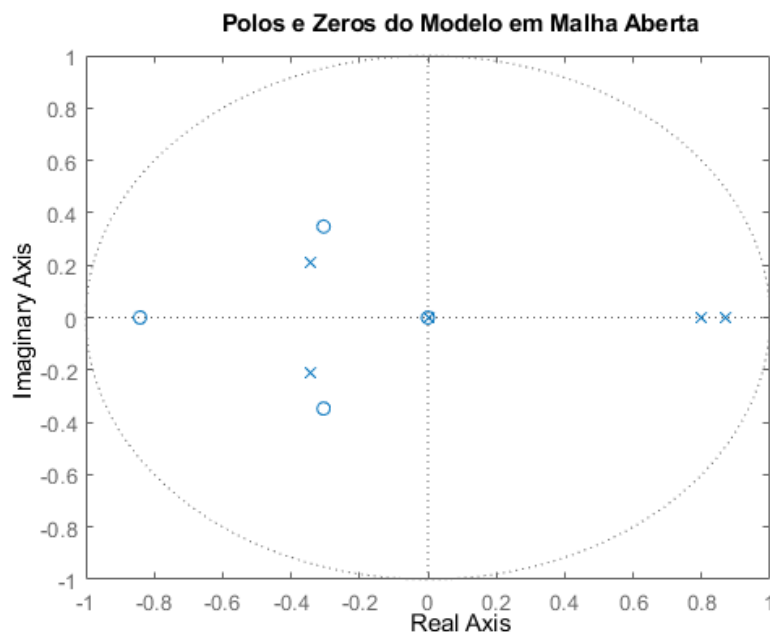


Figura 13. Mapa de polos e zeros da função do modelo. Fonte: Autor

## 7. CONTROLADOR COM UM GRAU DE LIBERDADE

Nesse caso a resposta a entrada e rejeição a ruídos dependem dos vetores R, S e T. A resposta em malha fechada do sistema está definida como:



$$G_{mf}(s) = \frac{0,0001}{s^2 + 0,02s + 0,0001}$$

No tempo discreto é definido como:

$$G_{mf}(z) = \frac{0,06155z^{-1} + 0,04714z^{-2}}{1 - 1,341z^{-1} + 0,4493z^{-2}}$$

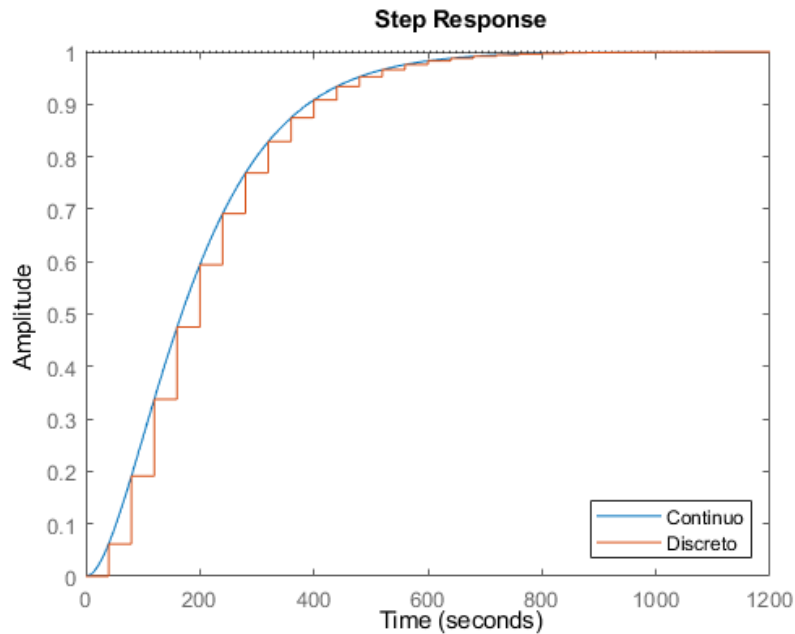


Figura 14. Resposta ao degrau do modelo em malha fechada. Fonte: Autor

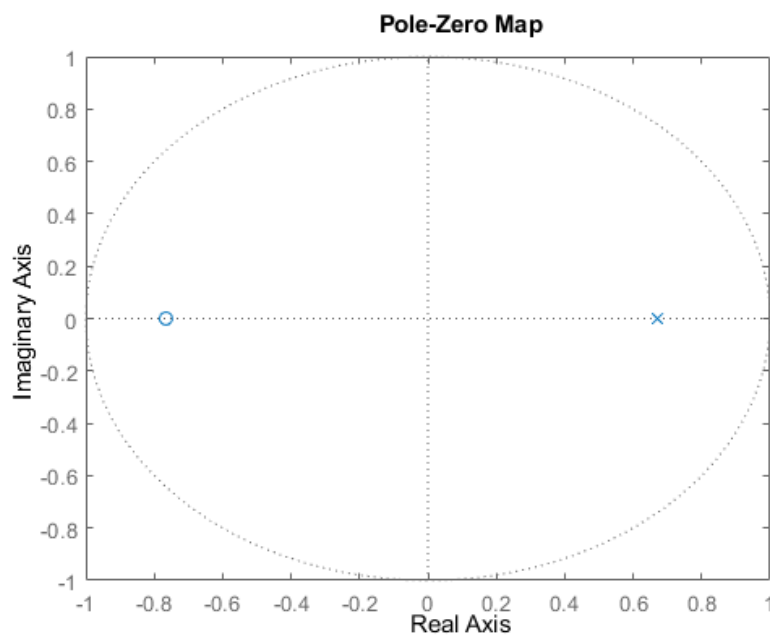


Figura 15. Mapa de polos e zeros do modelo em malha fechada. Fonte: Autor

Por alocação de polos, considerando que todos os polos auxiliares estão na origem, foi obtido as seguintes matrizes:



```
M = 9x9
    1.0000    0    0    0    0    0    0    0    0
   -1.9822    1.0000    0    0    0.0881    0    0    0    0
    0.6976   -1.9822    1.0000    0    0.1278    0.0881    0    0    0
    0.4892    0.6976   -1.9822    1.0000    0.0640    0.1278    0.0881    0    0
   -0.0933    0.4892    0.6976   -1.9822    0.0158    0.0640    0.1278    0.0881    0
   -0.1114   -0.0933    0.4892    0.6976    0    0.0158    0.0640    0.1278    0.0881
    0    -0.1114   -0.0933    0.4892    0    0    0.0158    0.0640    0.1278
    0    0    -0.1114   -0.0933    0    0    0    0.0158    0.0640
    0    0    0    -0.1114    0    0    0    0    0.0158
```

Figura 16. Matriz de polos e zeros do modelo em malha aberta. Fonte: Autor

```
p = 9x1
    1.0000
   -1.3406
    0.4493
    0
    0
    0
    0
    0
    0
```

Figura 17. Vetor de polos em malha fechada. Fonte: Autor

```
S = conv(RS(1:ns+1),[1 -1])'
```

```
S = 1x5
    1.0000   -0.5793   -0.1244   -0.2835   -0.0127
```

```
R = RS(ns+2:end)'
```

```
R = 1x5
    2.5083   -0.3543   -3.6734    1.7977    0.0893
```

```
T = sum(R)
```

```
T = 0.3676
```

Figura 18. Vetores R, S e T. Fonte: Autor

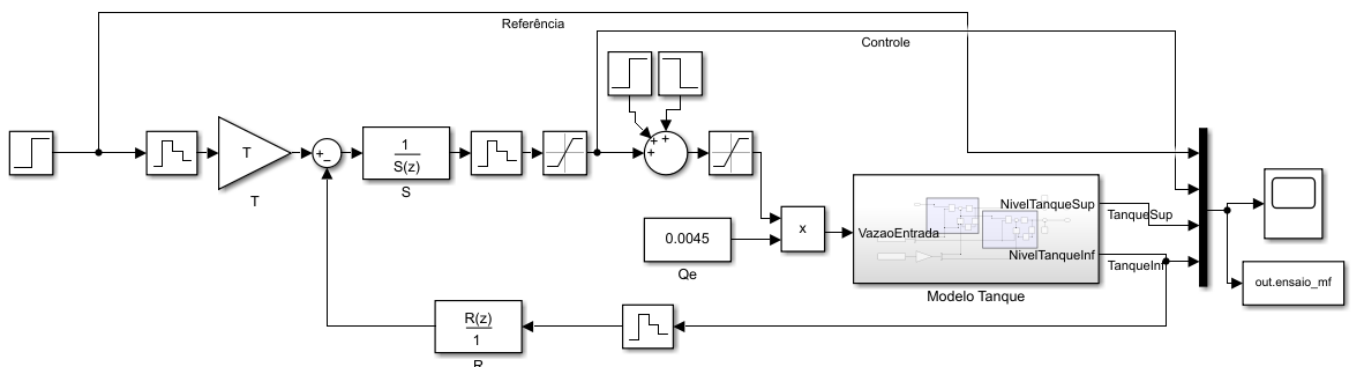


Figura 19. Arquitetura do controlador. Fonte: Autor

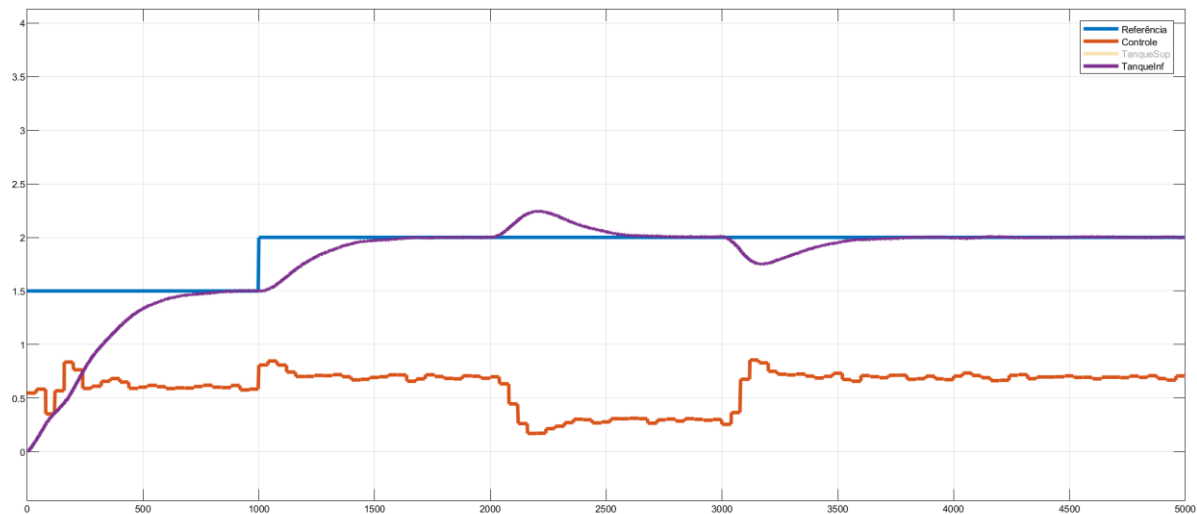


Figura 20. Resultados do ensaio com o controlador. Fonte: Autor

No ensaio fica claro o funcionamento do controlador, vale ressaltar que nesse caso foi inserida duas perturbações no sinal de controle em 2000s e 3000s, que foram rejeitadas pelo controlador.

## 8. CONTROLADOR COM DOIS GRAUS DE LIBERDADE

Para o controlador com dois graus de liberdade o procedimento de alocação de polos é idêntico ao feito anteriormente, mas nesse caso será adotado uma planta com resposta rápida para a rejeição de perturbação, ou seja, para projetar o polinômio R e S, diferindo apenas no polinômio T.

O polinômio T é adotado como

$$T(z) = \frac{P(z)}{B(1)}$$

Onde  $P(z)$  são os polos de malha fechada projetados e  $B(1)$  é a soma dos coeficientes do modelo da planta para que o sistema se assemelhe a um ganho unitário, sendo inserido um novo filtro  $H_m(z)$  que determinará a resposta de rastreamento do sistema, que deve ser mais lenta que a resposta de regulação.

Para rastreamento (filtro  $H_m(z)$ ), será adotado a mesma resposta desejada no controlador de um grau de liberdade:

$$H_m(s) = \frac{0,0001}{s^2 + 0,02s + 0,0001}$$

No tempo discreto é definido como:

$$H_m(z) = \frac{0,06155z^{-1} + 0,04714z^{-2}}{1 - 1,341z^{-1} + 0,4493z^{-2}}$$



A resposta ao degrau e mapa de zeros e polos são os mesmos contidos na Figura 12 e 13. Entretanto o polinômio do numerador deve ser atrasado em  $z^{-(k+1)}$ , onde  $k$  é o atraso da planta em malha aberta, nesse caso, no modelo em questão o  $k$  é igual a 0.

Para regulação, o tempo de assentamento será reduzido em 4 vezes, portanto  $T_{ass} = 100s$ , o que gera as funções de transferência:

$$G_{mf}(s) = \frac{0,0016}{s^2 + 0,08s + 0,0016}$$

No tempo discreto é definido como:

$$G_{mf}(z) = \frac{0,4751z^{-1} + 0,1619z^{-2}}{1 - 0,4038z^{-1} + 0,04076z^{-2}}$$

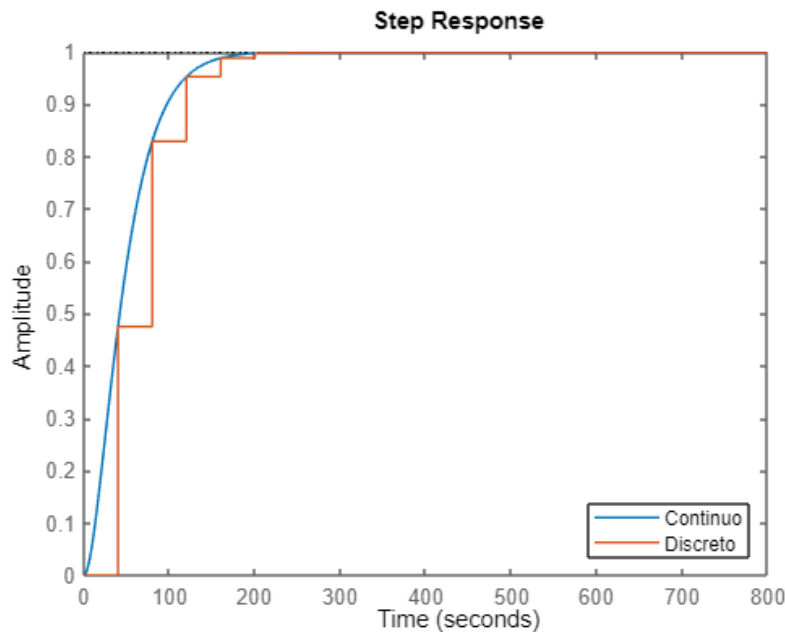


Figura 21. Resposta ao degrau do modelo em malha fechada. Fonte: Autor

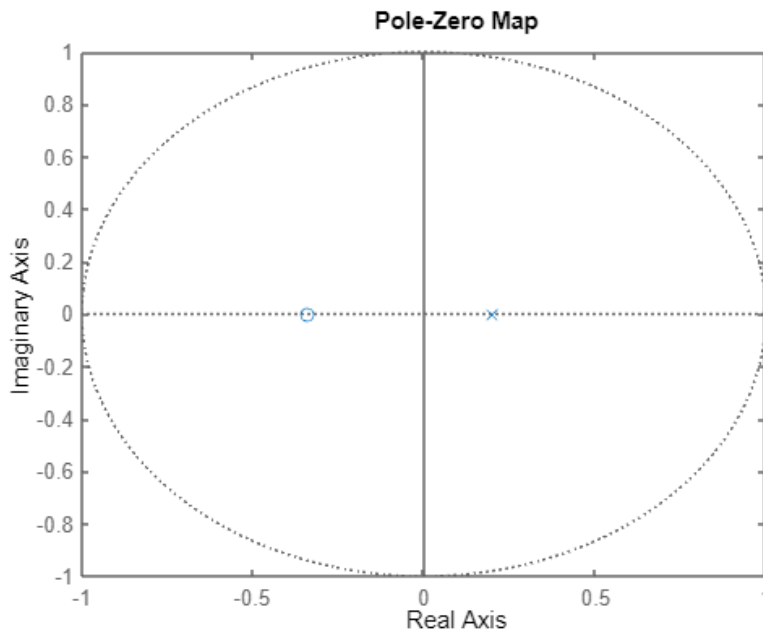


Figura 22. Mapa de polos e zeros do modelo em malha fechada. Fonte: Autor

A matriz M para alocação de polos é idêntica a da Figura 14, o que é modificado são os polos de malha fechada, visto que agora a resposta deve ser mais rápida, portanto, foram obtidos os seguintes valores para os polinômios R, S e T.

```
S = conv(RS(1:ns+1),[1 -1])'
```

```
S = 1x5
    1.0000   -0.1114   -0.4406   -0.3590   -0.0890
```

```
R = RS(ns+2:end)'
```

```
R = 1x5
    7.8337   -3.9118   -3.5398    1.1464    0.6258
```

```
Tnum = p'
```

```
Tnum = 1x9
    1.0000   -0.4038    0.0408         0         0         0         0         0         0
```

```
B1 = sum(cell2mat(G.num))
```

```
B1 = 0.2957
```

Figura 23. Vetores R, S e T. Fonte: Autor



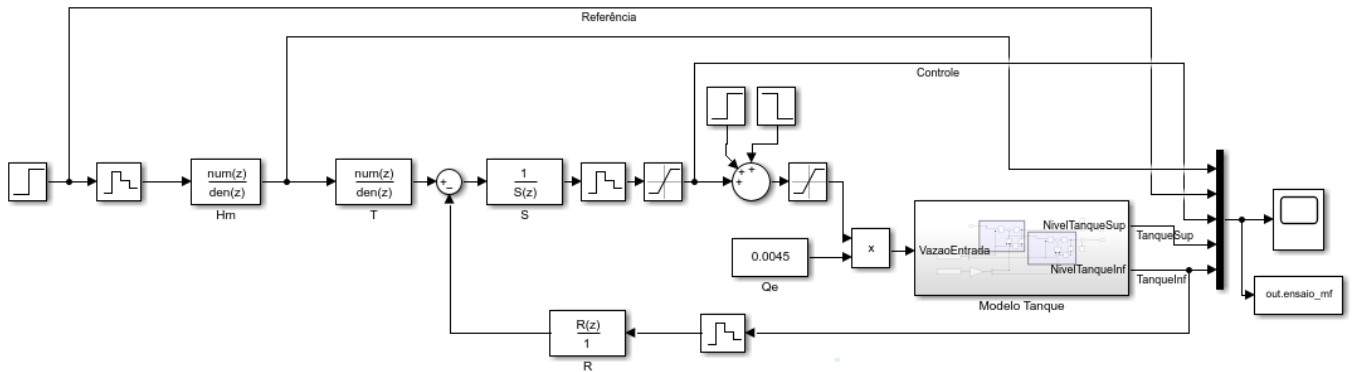


Figura 24. Resultados do ensaio com o controlador. Fonte: Autor

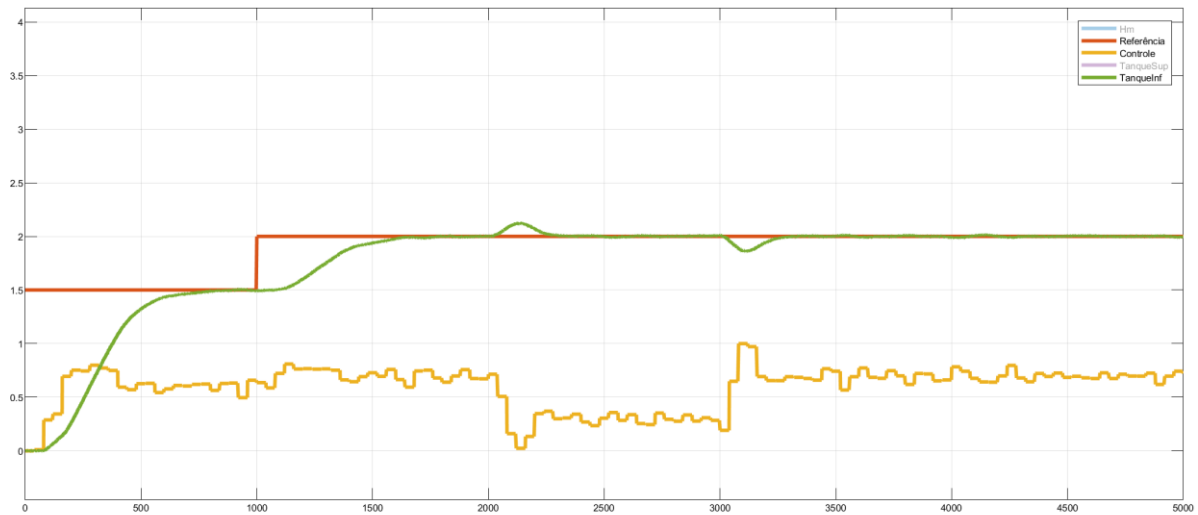


Figura 25. Resultados do ensaio com o controlador. Fonte: Autor

Novamente foi realizado um ensaio utilizando o novo controlador com duas perturbações no sinal de controle em 2000s e 3000s, que foram rejeitadas pelo controlador de forma mais rápida que o da Figura 18, conforme foi desejado inicialmente.

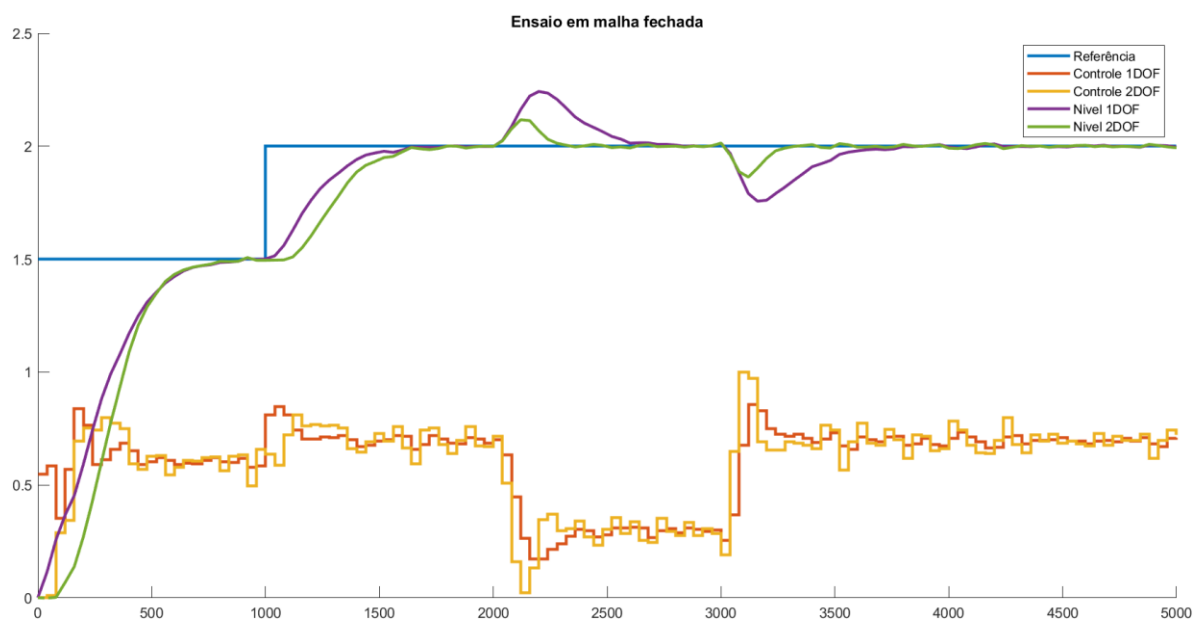


Figura 26. Comparativo dos resultados dos controladores de 1DOF e 2DOF. Fonte: Autor.

## 9. CONCLUSÃO

Por meio do software MATLAB e Simulink foi possível modelar um sistema, projetar um controlador RST e verificar sua eficiência no controle de sistemas a partir da modelagem ARX com entrada de um sinal PRBS projetada especificamente para o sistema. Além disso, o controlador RST se mostrou bastante versátil principalmente na variação com 2DOF, que se mostrou mais eficaz tanto para seguimento de referência como para rejeição de perturbações em relação a versão mais simples 1DOF, no entanto, ambos os controladores apresentaram bons resultados, operando diretamente no sistema não-linear simulado no Simulink, atuando conforme designado pelo projetista.